

Авторы:
 Бычков Ю.В.,
 Васильев Д.С.,
 Павлов А.О.

Bychkov Y.V.,
 Vasilev D.S.,
 Pavlov A.O.

Ключевые слова:
 имитационное и алгоритмическое моделирование, адекватность модели, определение места повреждения, защита дальнего резервирования.

Abstract: Comparative analysis of simulation and algorithm models, examples of use and calculation of the latter in relay protection algorithms, such as fault location and long-range redundancy are given in the article.

Keywords: simulation and algorithm models, model adequacy, fault location, long-range redundancy.

АЛГОРИТМИЧЕСКИЕ МОДЕЛИ В РЕЛЕЙНОЙ ЗАЩИТЕ

ALGORITHM MODELS IN RELAY PROTECTION

Аннотация: в статье приводится сравнительный анализ имитационных и алгоритмических моделей. Даются примеры использования последних в алгоритмах определения места повреждения и защиты дальнего резервирования, приводятся расчеты алгоритмических моделей, используемых в данных задачах.

Введение

У современной микропроцессорной релейной защиты (РЗ) есть огромное преимущество перед её предыдущим поколением. Оно заключается в существенном увеличении информационной базы, доступной РЗ, и, что важнее, в способности воспользоваться этим объёмом данных. Кроме того, современная релейная защита владеет моделью защищаемого объекта. В РЗ широко используются два вида моделей: имитационные и алгоритмические. Суть их, а следовательно, и задачи, которые они решают, принципиально различаются.

Определение и задачи моделирования

Имитационная модель

Имитационная модель (ИМО) является математическим описанием рассматриваемого объекта и становится его представлением при разработке, анализе и проверке алгоритмов РЗ. От ИМО требуется получить реакцию на различные коммутации в сети: включение на нагрузку, появление различного рода несимметрии и т.д. Если говорить о линии электропередачи, то имитационная модель позволяет найти токи и напряжения в ЛЭП при известных ЭДС систем по её концам, например, в нормальном и аварийном режимах.

В качестве примера на рис. 1 представлен переход от реального объекта – линии электропередачи – к его ИМО (для простоты приведена однолинейная схема ЛЭП с двухсторонним питанием). Системы слева и справа задаются соответствующими величинами ЭДС E_s , E_r и сопротивлениями Z_s , Z_r , а повреждение – параметрами аварии (координатой места повреждения x_f и переходным сопротивлением R_f). Как видим, результатом моделирования являются величины токов I_s и напряжений U_s в месте установки защиты, которые образуют вектор наблюдения $V_s = [U_s \ I_s]$.

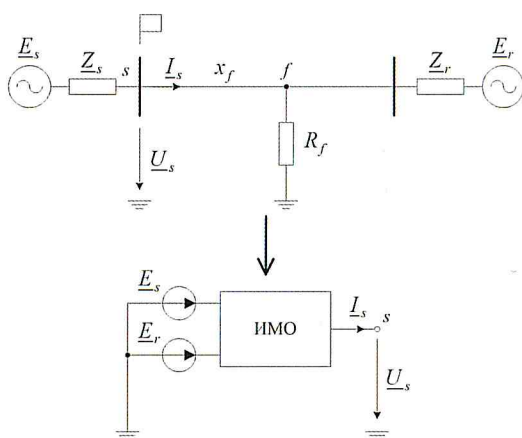


Рис. 1. Имитационная модель линии электропередачи

Алгоритмическая модель

Наиболее точным определением алгоритмической модели (АМО) является слово «наблюдатель». Имея математическую модель объекта и вектор наблюдения V_s , который может быть получен как устройством, установленным на объекте, так и ИМО данного объекта, АМО оценивает электрические величины I_f и U_f в месте предполагаемого повреждения f [1], как показано на рис. 2. Алгоритмическая модель, таким образом, представляет собой некое виртуальное устройство, фиксирующее токи и напряжения в точке, на самом деле не доступной нам для наблюдения.

То, что на вход АМО одновременно появляются и напряжения, и токи, может показаться ошибкой, ведь в действительности токи есть результат воздействия на объект источников ЭДС. Однако алгоритмическая модель является системой обработки информации, от которой



Релейная защита

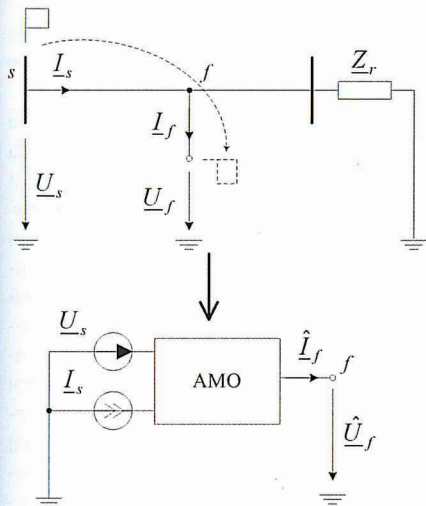


Рис. 2. Алгоритмическая модель линии электропередачи

требуется по фиксируемым в определённой точке схемы электрическим величинам определить скрытые от неё данные. Как видно из рис. 1 и 2, сведения, которыми располагают два типа моделей, различны.

Если параметры линии доступны и ИМО, и АМО, то информация об аварии и режиме работы систем от алгоритмической модели скрыта. Проблема отсутствия данных о режиме может быть решена привлечением векторов наблюдения с соответствующих концов линии, при этом речь уже будет идти об алгоритмах с многосторонним замером.

В зависимости от решаемой задачи, оценок электрических величин \hat{I}_f и \hat{U}_f в месте предполагаемого повреждения может быть достаточно. Если же це-

лью является определение самих параметров аварии x_f и R_f , то от АМО требуется получение их оценок.

В табл. 1 приведён сравнительный анализ двух типов моделей.

Адекватность моделей

Когда мы говорим о моделях энергообъектов, обязательно встаёт вопрос об их адекватности, и он связан не только с проблемой ограниченности доступной для модели информации (как видим, АМО может лишь «догадываться» о реальном режиме работы сети), но и с выбором базиса моделирования. Последнее определяется необходимостью компромисса между требуемой точностью расчёта и сложностью реализации алгоритма. Что же касается недоступности для алгоритмической модели части данных, то эта проблема решается в каждой конкретной задаче по-своему.

Далее в статье, в качестве примера, речь пойдёт о применении алгоритмических моделей для решения конкретных задач РЗ: определения места повреждения (ОМП) и построения защиты дальнего резервирования (ЗДР).

Определение места повреждения

Определение места повреждения является задачей, от которой требуется нахождение неизвестных значений аварийных параметров. В данной статье мы не будем рассматривать топографические методы локации, а остановимся на дистанционном методе ОМП по параметрам аварийного режима, в котором алгоритмическая модель ЛЭП играет ключевую роль.

Описание алгоритма

В линейной электрической цепи любой конфигурации токи в ветвях и напряжения в узлах определяются схемой соединений элементов, значениями ЭДС и сопротивлениями ветвей. Повреждения приводят к изменению токов и напряжений во всей схеме, а это означает, что по результатам измерений токов и напряжений при возникновении короткого замыкания возможно вычислить значение сопротивления ветви, в которой произошло КЗ. Если этой ветвью является линия электрической сети, то вычисленное значение сопротивления однозначно связано с длиной участка линии от её начала до места аварии.

Рассмотрим простейшую однолинейную схему ЛЭП, изображенную на рис. 3. Относительно места аварии линия делится на два участка со следующими сопротивлениями:

$$Z_{\text{л}1} = Z_{\text{л}}^0 x_f;$$

$$Z_{\text{л}2} = Z_{\text{л}}^0 (L - x_f),$$

где $Z_{\text{л}}^0$ – комплексное удельное сопротивление ЛЭП, а L – длина линии. Для данной схемы можно составить следующие уравнения по закону Кирхгофа:

$$\begin{cases} U_s - Z_{\text{л}1} I_s - U_f = 0; \\ U_r - Z_{\text{л}2} I_r - U_f = 0; \\ U_s - U_r - Z_{\text{л}1} I_s + Z_{\text{л}2} I_r = 0. \end{cases} \quad (1)$$

Данные уравнения являются функциями одной переменной – координаты места повреждения x_f .

Общее решение задачи идентификации заключается в анализе изменения целевой функции, что позволяет исключить влияние многих случайных факторов. Общим критерием определения места КЗ служит условие достижения целевой функцией глобального минимума при множестве варьируемых параметров. Простейшей целевой функцией

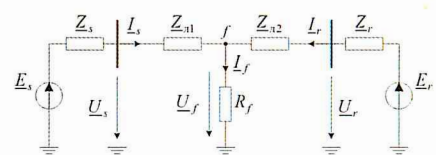


Рис. 3. Схема с двухсторонним питанием



цией может служить невязка уравнений (1), то есть отличие правой части уравнения от нуля. Для получения значений невязок следует изменять значение координаты x от нуля до L и, предполагая в данной точке продольную ветвь повреждения, строить зависимость модуля правой части u от расстояния $-y(x)$.

В принципе, функций невязки может быть множество. Однако самой универсальной является функция реактивной мощности Q_f в месте КЗ [2]. Она соответствует предпосылке, что все переходные сопротивления в месте короткого замыкания резистивны. Это выражается в следующем:

$$Q_f = \text{Im}(\underline{U}_f \hat{\underline{I}}_f) = 0.$$

Величины \underline{I}_f и \underline{U}_f нам не доступны – возможно лишь получение их оценок. Переход от величин напряжений и токов в месте установки устройства к вектору $[\hat{\underline{U}}_f \hat{\underline{I}}_f]$ может определяться формулой (так называемые формульные или явные методы ОМП) либо моделью ЛЭП (модельные или неявные методы).

НПП «Бреслер» выпускает устройство «Бреслер-0107.090», предназначенное для определения места повреждения линий электропередачи напряжением 6–750 кВ с односторонним и двухсторонним питанием [3]. В нём реализован модельный метод дистанционного ОМП, что выгодно отличает его от существующих аналогов. Оценки $\hat{\underline{U}}_f$ и $\hat{\underline{I}}_f$ формирует алгоритмическая модель рассматриваемой системы (структурная схема алгоритма ОМП изображена на рис. 4).

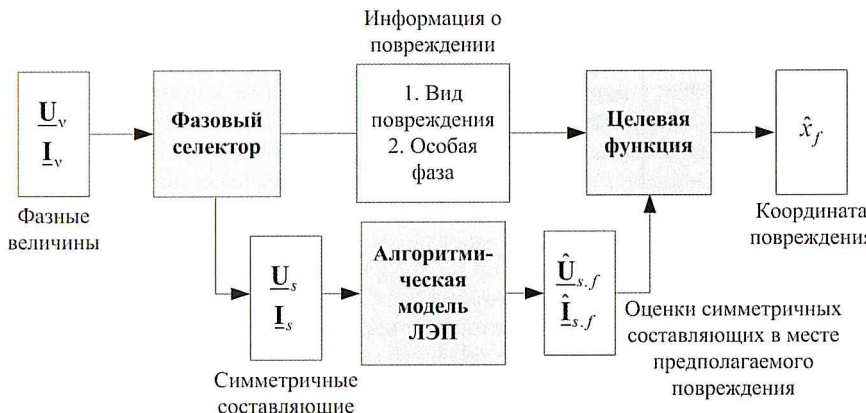


Рис. 4. Структурная схема алгоритма ОМП

На основании измеренных аналоговых сигналов $[\underline{U}_v \underline{I}_v]$ (v – обозначение фаз A, B, C) фазовый селектор определяет вид повреждения, особую фазу и относительно неё рассчитывает симметричные составляющие $[\underline{U}_s \underline{I}_s]$ напряжений и токов, где s – обозначение последовательностей 1, 2, 0.

Алгоритмическая модель линии электропередачи позволяет найти оценки $[\hat{\underline{U}}_{s,f} \hat{\underline{I}}_{s,f}]$ симметричных составляющих напряжений \underline{U}_f и токов \underline{I}_f в ветви предполагаемого повреждения в произвольной точке x линии и построить целевую функцию вдоль всей ЛЭП. Каждому виду повреждения при этом соответствует своя целевая функция $f(\hat{\underline{U}}_{s,f} \hat{\underline{I}}_{s,f})$, фактически являющаяся функцией координаты x . Далее определяется сигнатура реактивной мощности и по смене её знака фиксируется координата аварии x_f .

Структура модели и её адекватность

Адекватность модели, используемой в описанном выше алгоритме, зависит от следующих факторов:

- 1) точности описания самой линии электропередачи;
- 2) отсутствия или наличия информации о режиме работы систем.

Описание ЛЭП включает в себя сведения о проводах, опорах, тросах, используемых на различных участках линии, сопротивлении земли, а также коридорах взаимного влияния ЛЭП. Это априорная информация, которая считается известной и фиксированной, и адекватность модели в данном случае

зависит от того, насколько подробно была описана рассматриваемая линия электропередачи.

Эквивалентное сопротивление системы с противоположного конца ЛЭП определяется режимом работы и потому является варьируемой величиной. Данная информация может быть получена только с привлечением вектора наблюдения \underline{V}_r с противоположной стороны. Таким образом, алгоритмическая модель, использующая односторонний замер, в общем случае является неадекватной, поскольку сопротивление противоположной (неизвестной) системы берётся исходя из заранее заданных режимов работы сети. Естественно, при многостороннем замере данная проблема полностью решается, чем и определяется значительно более высокая точность двух- и многостороннего ОМП.

Пример расчёта алгоритмической модели

Рассмотрим расчёт алгоритмической модели линии электропередачи длиной L на примере простейшей однолинейной схемы (рис. 3). Предполагем повреждение в точке x и относительно неё разбиваем ЛЭП на две части с соответствующими сопротивлениями $Z_{l1} = Z_l^0 x$ и $Z_{l2} = Z_l^0 (L - x)$. При этом

$$Z_l = Z_{l1} + Z_{l2} = Z_l^0 L.$$

При одностороннем замере в модель необходимо внести сопротивление противоположной системы Z_r . В результате, получим схему, изображённую на рис. 5.

Расчёт АМО заключается в получении комплексных коэффициентов, связывающих электрические величины в месте предполагаемого повреждения с вектором наблюдения $[\underline{U}_s \underline{I}_s]$. Эту зависимость можно представить следующим образом:

$$\underline{U}_f = B_{11} \underline{U}_s + B_{12} \underline{I}_s;$$

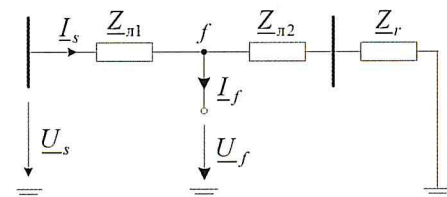


Рис. 5. Пример расчёта алгоритмической модели

Релейная защита

$$I_f = \underline{B}_{21} \underline{U}_s + \underline{B}_{22} I_s.$$

Для схемы на рис. 5 запишем уравнения, составленные по законам Кирхгофа:

$$\underline{U}_f = \underline{U}_s - \underline{Z}_{n1} I_s;$$

$$\underline{L}_f = \underline{L}_s - \frac{\underline{U}_f}{\underline{Z}_{n2} + \underline{Z}_r} = \underline{L}_s - \frac{\underline{U}_s - \underline{Z}_{n1} I_s}{\underline{Z}_{n2} + \underline{Z}_r} = -\frac{1}{\underline{Z}_{n2} + \underline{Z}_r} \underline{U}_s + \frac{\underline{Z}_{n1} + \underline{Z}_r}{\underline{Z}_{n2} + \underline{Z}_r} \underline{L}_s,$$

из которых легко получить выражения для коэффициентов B :

$$\underline{B}_{11} = 1; \quad \underline{B}_{12} = -\underline{Z}_{n1};$$

$$\underline{B}_{21} = -\frac{1}{\underline{Z}_{n2} + \underline{Z}_r}; \quad \underline{B}_{22} = \frac{\underline{Z}_{n1} + \underline{Z}_r}{\underline{Z}_{n2} + \underline{Z}_r}.$$

Конечно же, в реальности рассматривается трёхфазная система, в результате чего описание алгоритмической модели получается гораздо сложнее. Однако принцип получения коэффициентов АМО остаётся таким же.

Задача дальнего резервирования

Задача дальнего резервирования предназначена для селективного отключения линии электропередачи напряжением 35-220 кВ при замыканиях в силовых трансформаторах и на стороне низшего напряжения ответвительных подстанций. Осуществить защитами линий дальнее резервирование при замыкании в ответвительной подстанции непросто, поскольку нагрузка линий электропередачи в большинстве случаев значительно превышает номинальную мощность отпайки [4]. Привлечение алгоритмических моделей и расширение информационной базы, доступной АМО, позволяет решить данные проблемы и значительно увеличить чувствительность защиты.

Описание алгоритма

Для того чтобы идентифицировать повреждение на низшей стороне и, тем более, определить конкретную ответвительную подстанцию, на которой произошло замыкание, необходимо отслеживать токи и напряжения в ответвительных подстанциях. Устройство, устанавливаемое на головном конце линии, этой информацией не обладает.

Проблема выявления повреждения отпайочного трансформатора решена путем расшире-

ния информационной базы защиты. С помощью нового метода, названного информационным анализом [4, 5], разработана защита дальнего резервирования «Бреслер-0107.030», оперирующая всей доступной информацией при наблюдении за линией электропередачи с одного конца. В её основу положен адаптивный дистанционный принцип [6], оперирующий алгоритмической моделью объекта, что равноценно установке на низшей стороне трансформатора виртуального реле сопротивления (ВРС), оценивающего ток I_f и напряжение \underline{U}_f в ветви предполагаемого повреждения / и определяющего факт замыкания (рис. 6). С помощью алгоритмических моделей удаётся настроить виртуальные реле на каждую защищаемую ответвительную подстанцию, если их несколько. На рис. 7 представлена структурная схема алгоритма защиты дальнего резервирования.

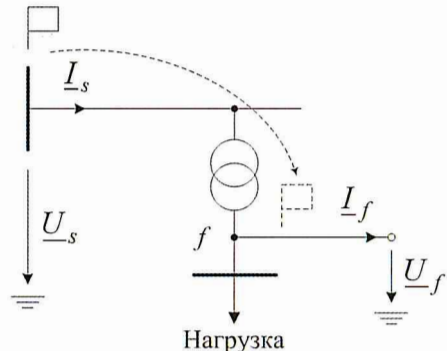


Рис. 6. Отслеживание величин в ветви предполагаемого повреждения

Чтобы отстроиться от нагрузочного режима, в алгоритме ЗДР используются чисто аварийные составляющие, под которыми понимаются разности векторов тока или напряжения в текущем и предварийном режиме

$$\begin{aligned} \underline{U}^{\text{ab}} &= \underline{U}^{\text{tk}} - \underline{U}^{\text{пд}}; \\ \underline{I}^{\text{ab}} &= \underline{I}^{\text{tk}} - \underline{I}^{\text{пд}}. \end{aligned}$$

Рассмотрим принцип построения АМО, используемой в защите дальнего резервирования, на примере рис. 8, на котором изображена линия с ответвительной подстанцией и её схема замещения.

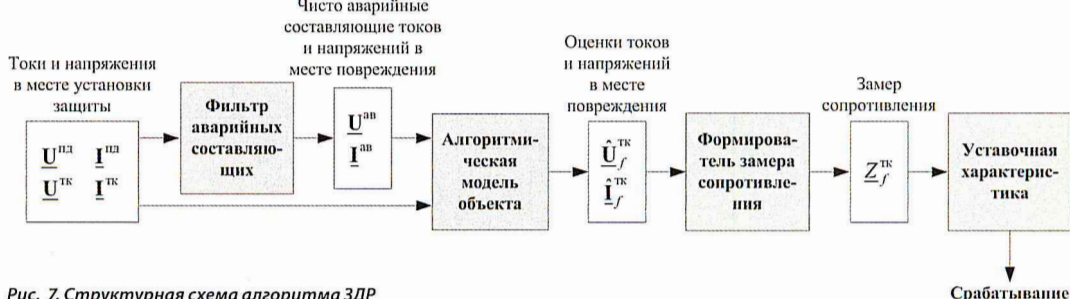


Рис. 7. Структурная схема алгоритма ЗДР



Бычков Юрий
Владимирович
Дата рождения:

28.12.1983 г.

Окончил Чувашский государственный университет им. И.Н. Ульянова в 2007 г., кафедра «ТОЭ и РЗА».

Заведующий сектором ОМП ООО НПП «Брэслер».



Васильев Дмитрий
Сергеевич

Дата рождения:

08.06.1984 г.

Окончил Чувашский государственный университет им. И.Н. Ульянова в 2007 г., кафедра «ТОЭ и РЗА».

Заведующий сектором ЗДР ООО НПП «Брэслер».

Релейная защита

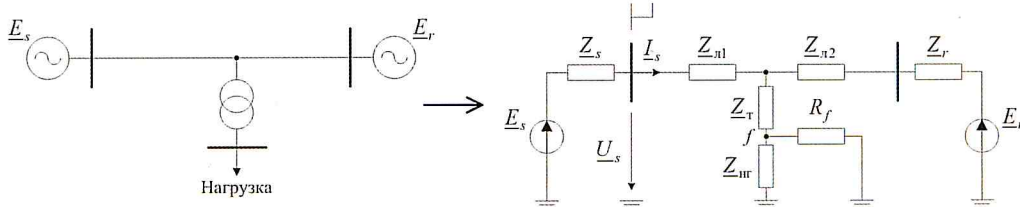


Рис. 8. Линия с ответвительной подстанцией и схема её замещения

Здесь приняты следующие обозначения: Z_{l1} и Z_{l2} – сопротивления участков линии до и после отпайки соответственно, Z_t – сопротивление трансформатора, Z_{nr} – сопротивление нагрузки.

В ЗДР алгоритмическая модель объекта разделяется на модель предшествующего и чисто аварийного режимов. Модель предрежима формирует замер напряжений $\underline{U}_f^{\text{пл}}$ в ветви предполагаемого повреждения по вектору наблюдения $\underline{V}_s^{\text{пл}}$ и не зависит от параметров части схемы после рассматриваемой отпайки. АМО в предшествующем режиме представлена следующей формулой

$$\underline{U}_f^{\text{пл}} = K_1^{\text{пл}} \underline{U}_s^{\text{пл}} + K_2^{\text{пл}} \underline{I}_s^{\text{пл}} \quad (2)$$

и изображена на рис. 9а.

Модель чисто аварийного режима (рис. 9б) формирует замер напряжений $\underline{U}_f^{\text{аб}}$ и токов $\underline{I}_f^{\text{аб}}$ в ветви предполагаемого повреждения по чисто аварийным составляющим напряжения $\underline{U}_s^{\text{аб}}$ и тока $\underline{I}_s^{\text{аб}}$ в месте установки защиты. Соответствующие выражения представлены ниже.

$$\begin{cases} \underline{U}_f^{\text{аб}} = K_1^{\text{аб}} \underline{U}_s^{\text{аб}} + K_2^{\text{аб}} \underline{I}_s^{\text{аб}}; \\ \underline{I}_f^{\text{аб}} = K_3^{\text{аб}} \underline{U}_s^{\text{аб}} + K_4^{\text{аб}} \underline{I}_s^{\text{аб}}. \end{cases} \quad (3)$$

Кроме алгоритмической модели объекта в алгоритм ЗДР входит формирователь замера сопротивления, который объединяет информацию о токах и напряжениях различных режимов (предшествующего и чисто аварийного) в единый алгоритмический параметр – замер текущего сопро-

тивления в месте предполагаемого повреждения. Специфика отпачечного трансформатора такова, что возможны только два вида повреждения на низшей стороне трансформатора: междуфазные и трёхфазные замыкания. В защите реализовано четыре формирователя замера текущего сопротивления: три для междуфазных

$$Z_{f,AB}^{\text{тк}} = \frac{\underline{U}_{f,A}^{\text{тк}} - \underline{U}_{f,B}^{\text{тк}}}{\underline{I}_{f,A}^{\text{тк}} - \underline{I}_{f,B}^{\text{тк}}}; Z_{f,BC}^{\text{тк}} = \frac{\underline{U}_{f,B}^{\text{тк}} - \underline{U}_{f,C}^{\text{тк}}}{\underline{I}_{f,B}^{\text{тк}} - \underline{I}_{f,C}^{\text{тк}}}; Z_{f,CA}^{\text{тк}} = \frac{\underline{U}_{f,C}^{\text{тк}} - \underline{U}_{f,A}^{\text{тк}}}{\underline{I}_{f,C}^{\text{тк}} - \underline{I}_{f,A}^{\text{тк}}}$$

и один для трёхфазного замыканий

$$Z_f^{\text{тк}} = \frac{\underline{U}_f^{\text{тк}}}{\underline{I}_f^{\text{тк}}}.$$

Структура модели и её адекватность

Как видно из рис. 9, АМО, используемая в защите дальнего резервирования, включает в себя параметры линии, трансформатора, нагрузки и смежной с отпайкой части системы. О зависимости точности модели от априорной информации речь шла в части статьи, посвящённой ОМП. Здесь же добавим, что нагрузка трансформатора, как и его параметры (в зависимости от положения РПН) не являются постоянными, а на смежных объектах могут происходить различные переключения. АМО об этом ничего не знает, а это означает, что на практике модель не адекватна объекту, и, в результате, происходит смещение замера ВРС.

В рассматриваемом алгоритме в целях упрощения операции определения попадания замера в уставочную область используется ли-

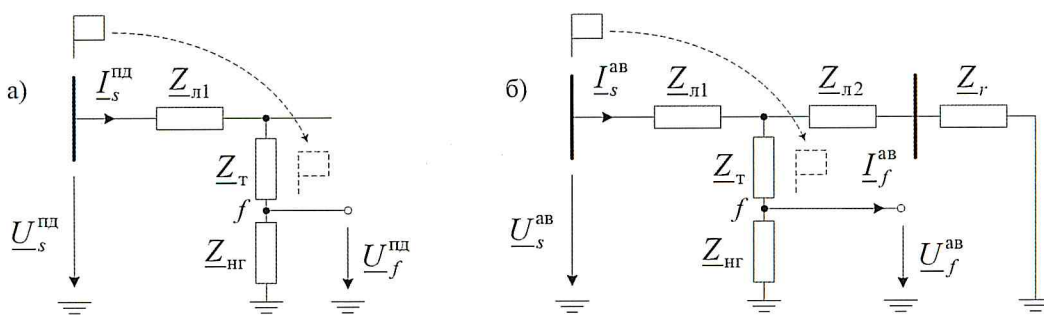


Рис. 9. Алгоритмическая модель предшествующего (а) и чисто аварийного (б) режимов



Павлов Александр

Олегович

Дата рождения:

14.11.1975 г.

Окончил Чувашский государственный университет им. И.Н. Ульянова в 1998 г., кафедра «ТЭО и РЗА». В 2002 г. в Чувашском госуниверситете защитил кандидатскую диссертацию «Информационные аспекты распознавания коротких замыканий в линиях электропередачи в приложении к защите дальнего резервирования». Научный руководитель – Павлов А.О. НПП «Бреслер».

Релейная защита

нейная аппроксимация сложной области наблюдаемых режимов четырёхугольником. Для каждого из состояний защищаемого объекта по опытам коротких замыканий строится уставочная характеристика, а результатирующая – отстраивается от альтернативных режимов и охватывает все промежуточные годографы, как показано на рис. 10.

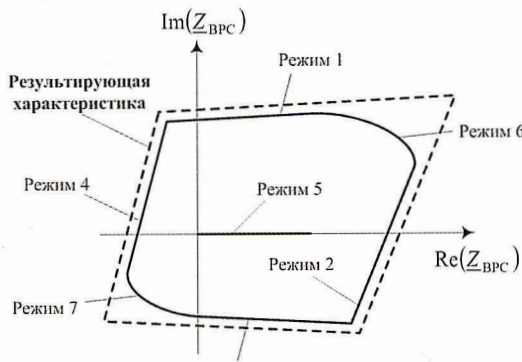


Рис. 10. Построение результирующей уставочной области

Пример расчёта алгоритмической модели

Как и для ОМП, приведём пример расчёта алгоритмической модели ЗДР. За основу возьмём рис. 9. Расчёт АМО означает получение выражений для комплексных коэффициентов, входящих в уравнения (2) и (3).

Для алгоритмической модели предшествующего режима можем записать:

$$\underline{U}_f^{\text{нд}} = \frac{\underline{U}_s^{\text{нд}} - \underline{Z}_{\text{л1}} \underline{I}_s^{\text{нд}}}{\underline{Z}_{\text{т}} + \underline{Z}_{\text{ир}}} \underline{Z}_{\text{ир}}$$

откуда вытекают равенства:

$$\underline{K}_1^{\text{нд}} = \frac{\underline{Z}_{\text{ир}}}{\underline{Z}_{\text{т}} + \underline{Z}_{\text{ир}}}; \quad \underline{K}_2^{\text{нд}} = -\frac{\underline{Z}_{\text{л1}} \underline{Z}_{\text{ир}}}{\underline{Z}_{\text{т}} + \underline{Z}_{\text{ир}}}.$$

Анализ АМО чисто аварийного режима даст следующие уравнения:

$$\begin{aligned} \underline{U}_f^{\text{аб}} &= \underline{U}_s^{\text{аб}} - \underline{Z}_{\text{л1}} \underline{I}_s^{\text{аб}} - \underline{Z}_{\text{т}} \underline{I}_{\text{т}}^{\text{аб}}; \quad \underline{I}_f^{\text{аб}} = \underline{I}_{\text{т}}^{\text{аб}} - \frac{\underline{U}_f^{\text{аб}}}{\underline{Z}_{\text{ир}}}; \\ \underline{I}_{\text{т}}^{\text{аб}} &= \underline{I}_s^{\text{аб}} - \frac{\underline{U}_s^{\text{аб}} - \underline{Z}_{\text{л1}} \underline{I}_s^{\text{аб}}}{\underline{Z}_{\text{л2}} + \underline{Z}_r}, \end{aligned}$$

решив которые получим значения искомых коэффициентов:

$$\underline{K}_1^{\text{аб}} = \frac{\underline{Z}_{\text{л2}} + \underline{Z}_r + \underline{Z}_{\text{т}}}{\underline{Z}_{\text{л2}} + \underline{Z}_r};$$

$$\underline{K}_2^{\text{аб}} = -\frac{\underline{Z}_{\text{л1}} (\underline{Z}_{\text{л2}} + \underline{Z}_r) + \underline{Z}_{\text{т}} (\underline{Z}_{\text{л1}} + \underline{Z}_{\text{л2}} + \underline{Z}_r)}{\underline{Z}_{\text{л2}} + \underline{Z}_r};$$

$$\underline{K}_3^{\text{аб}} = -\frac{\underline{Z}_{\text{л2}} + \underline{Z}_r + \underline{Z}_{\text{т}} + \underline{Z}_{\text{ир}}}{\underline{Z}_{\text{ир}} (\underline{Z}_{\text{л2}} + \underline{Z}_r)};$$

$$\underline{K}_4^{\text{аб}} = -\frac{\underline{Z}_{\text{л1}} (\underline{Z}_{\text{л2}} + \underline{Z}_r) + (\underline{Z}_{\text{т}} + \underline{Z}_{\text{ир}}) (\underline{Z}_{\text{л1}} + \underline{Z}_{\text{л2}} + \underline{Z}_r)}{\underline{Z}_{\text{ир}} (\underline{Z}_{\text{л2}} + \underline{Z}_r)}.$$

Заключение

- В результате сравнительного анализа установлено, что в ряде задач РЗА, таких как защита дальнего резервирования, определение места повреждения, целесообразно использовать алгоритмическое моделирование.
- Благодаря АМО современная релейная защита способна: оценивать – распознавать режимы; в случае необходимости привлекать дополнительную информацию; корректировать свои алгоритмы и тем самым адаптироваться к каждому конкретному случаю.
- С использованием результатов алгоритмического моделирования и алгоритмических моделей в НПП «Бреслер» реализованы защиты дальнего резервирования, терминалы и программные комплексы определения места повреждения.

Литература:

- Лямец Ю.Я., Нудельман Г.С., Павлов А.О. Алгоритмические модели электрических систем // Труды Академии электротехнических наук Чувашской Республики./ Изд-во Чуваш. ун-та. – Чебоксары, 1999. – № 1 2.– С. 10-21.
- Лямец Ю.Я., Ильин В.А. Патент на изобретение № 2107304 Российской Федерации. Способ определения места повреждения ЛЭП с двухсторонним питанием. – Опубликовано 20.03.1998.
- Бычков Ю.В., Павлов А.О. Реализация алгоритма определения места повреждения в микропроцессорном терминале «Бреслер 0107.5Х» // Труды Академии электротехнических наук Чувашской Республики./ Изд-во Чуваш. ун-та. – Чебоксары, 2007. – № 2. – С. 78-81.
- А.О. Павлов, Д.С. Васильев. Высокочувствительная защита дальнего резервирования линий электропередачи // Энергетик. – 2008. – № 12. – С. 5-7.
- Д.С. Васильев, В.Н. Козлов, А.О. Павлов. Развитие высокочувствительной защиты дальнего резервирования // Релейная защита и автоматизация. – 2011. – № 2. – С. 24-28.
- Павлов А.О. Информационные аспекты распознавания коротких замыканий в линиях электропередачи в приложении к защите дальнего резервирования: канд. диссертация. – Чебоксары, Чуваш. ун-т, 2002.
- Шнеерсон Э.М. Цифровая релейная защита. – М.: Энергоатомиздат. – 2007.
- Y. Liemets, S. Ivanov, A. Podchivaline, G. Nudelman, J. Zakonjsek Informational analysis – new relay protection tool // Proc. 13th Int. Conf. Power System Protection. – Bled, 2002. – P. 197 210.